

ภาคผนวก

การสังเคราะห์วัสดุเซรามิกผสม อะลูมินา-ซิลิกอนคาร์บิดโดยปฏิกิริยาการ์โนรีดักชันของดินขาว

Synthesis of Al_2O_3 -SiC Ceramic Composites by Carbothermal Reduction of Kaolin

สุธรรม นิยมวาส* และ เล็ก สีคง**

*ภาควิชาวิศวกรรมเครื่องกล คณะวิศวกรรมศาสตร์ มหาวิทยาลัยสงขลานครินทร์ หาดใหญ่ สงขลา 90112 โทร 074 287 196 e-mail: sutham.n@psu.ac.th

**ภาควิชาวิศวกรรมเหมืองแร่และวัสดุ คณะวิศวกรรมศาสตร์ มหาวิทยาลัยสงขลานครินทร์ หาดใหญ่ สงขลา 90112 โทร 074 287 324 e-mail: slek@ratree.psu.ac.th

บทคัดย่อ

การวิจัยนี้ได้สังเคราะห์วัสดุเซรามิกผสม อะลูมินา-ซิลิกอนคาร์บิดโดยรีดักชันของดินขาว และถ่านก้มมันต์ดินขาว และถ่านก้มมันต์ผสมกันในอัตราส่วนเชิงโมลเท่ากับ 1:6 อุณหภูมิของปฏิกิริยาถูกควบคุมไว้ที่ 1600°C ผลกระทบของเวลาในการบดสารตั้งต้นต่อผลปฏิกิริยาที่ได้ถูกนำเสนอในที่นี้ ผลปฏิกิริยาที่ได้ถูกนำไปวิเคราะห์ด้วยวิธี XRD และ SEM ซึ่งแสดงให้เห็นว่าปฏิกิริยาการ์โนรีดักชันของสารตั้งต้นเกิดขึ้นโดยสมบูรณ์ได้ผลลัพท์เป็นอนุภาค อะลูมินา-ซิลิกอนคาร์บิดโดยซิลิกอนคาร์บิดอยู่ในรูปของเส้นใย

Abstract

The formations of Al_2O_3 -SiC_w composite have been obtained in situ by carbothermal reduction of a mixture of Kaolin and activated carbon. The Kaolin was mixed with activated carbon in a molar ratio of 1:6. The reaction temperature was controlled at 1600°C . The synthesized products were mixtures of alumina and silicon carbide. The effects of milling time of precursors are presented. XRD and SEM analyses indicate complete reaction of precursors to yield Al_2O_3 -SiC_w as product powders, with the SiC having whiskers morphology.

คำหลัก : วัสดุเซรามิกผสม อะลูมินา-ซิลิกอนคาร์บิดโดยปฏิกิริยาการ์โนรีดักชัน

Keywords: Al_2O_3 -SiC_w carbothermal reduction

1. บทนำ

วัสดุเซรามิก(ceramic) มีบทบาทสำคัญต่อการผลิตชิ้นส่วนในอุตสาหกรรมเนื่องจากสมบัติที่ดีหลายประการของเซรามิก เช่น ความทนทานต่อกลางร้อน มีความแข็งและความแข็งแรงสูง มีสัมประสิทธิ์การขยายตัวทางความร้อนต่ำ มีความหนาแน่นต่ำ ทนการสึกหรอ และการกัดกร่อนของสารเคมีได้ดี แต่ประสิทธิผลของวัสดุเหล่านี้ยังไม่สามารถนำไปใช้ประโยชน์อย่างเต็มที่ในการใช้งานที่อุณหภูมิสูงเนื่องจากมีความเหนียวตัว เกิดการแตกหักง่าย การปรับปรุงความเหนียวของวัสดุเซรามิกได้รับการศึกษาอย่างกว้างขวางและพบว่าการเสริมแรงด้วยเส้นใยเซรามิกสามารถลดเพิ่มความเหนียวให้เซรามิกได้หลายเท่า เช่นระบบ $\text{Al}_2\text{O}_3-\text{SiC}_w$ [1]

วิธีการสังเคราะห์หรือผลิตวัสดุเซรามิกผสานเสริมแรง (reinforced) คือการนำวัสดุเซรามิกมาในรูปแบบเดียวกัน ทำให้ได้ส่องแแนวทางใหม่ๆ คือ ทางกายภาพ ซึ่งใช้การผสมกันโดยตรง (physical mixing) และการสังเคราะห์ทางเคมี (chemical synthesis) โดยระบบวัสดุเซรามิกผสานที่มีการศึกษา และรายงานผล เช่น $\text{Al}_2\text{O}_3 - \text{ZrO}_2 - \text{SiC}_w$, $\text{ZrO}_2 - \text{SiC}_w$, $\text{TiO}_2 - \text{SiC}_w$ และ $\text{Al}_2\text{O}_3 - \text{ZrO}_2 - \text{SiC}_w$ ผลิตโดยวิธีการทางกายภาพที่มีการผสมกันระหว่างโคลาห์ออกไซด์กับอนุภาคนิคเส้นของซิลิกอนคาร์บอนิค ซึ่งมีราคาสูงกว่าและมีประสิทธิผลต่ำกว่าการสังเคราะห์อนุภาคนิคเซรามิกผสานโดย

วิธีการสังเคราะห์ทางเคมี เช่น ปฏิกิริยาการปฏิรดักชัน

ปฏิกิริยาการปฏิรดักชัน คือปฏิกิริยาที่อุณหภูมิสูง และใช้การบอนเป็นตัวทำปฏิกิริยา ปฏิกิริยานี้ใช้ได้ผลดีกับการลดรูปโลหะออกไซด์หลายชนิดไปสู่โลหะบริสุทธิ์ และรวมถึงโลหะคาร์บอนิคหรือออกซิคาโรบิด โดยปกติปฏิกิริยาการปฏิรดักชันจะถูกศึกษาในบรรยากาศของแก๊สเพื่อย ของอาร์กอน (Ar) หรือไนโตรเจน (N_2) เพื่อป้องกันการบอนทำปฏิกิริยากับออกซิเจนในอากาศ จากรายงานของ Bechtold และ Cutler [2] ซึ่งศึกษาการแยกสินแร่ดินเหนียว (clay minerals) เพื่อให้ได้อะลูมิเนียม โดยปฏิกิริยาการปฏิรดักชัน และในกระบวนการพอกเขาก็สามารถสังเคราะห์อนุภาคนิคซิลิกอนคาร์บอนิคเส้น ออกมาน้ำด้วย

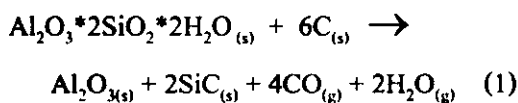
จากการทดลองในขุดแรกริมน ซึ่งยังไม่ทราบว่ามีการผลิตวัสดุเซรามิกผสานโดยกระบวนการปฏิกิริยาการปฏิรดักชัน ทำให้ต้องมีก้อนวิชชอน ฯ นำเอาระบบนี้ไปสังเคราะห์วัสดุเซรามิกผสานของ $\text{Al}_2\text{O}_3 - \text{SiC}_w$ [3-11] โดยการใช้ดินขาว (kaolin) และอนุภาคนิคบอนเป็นสารตั้งต้นราคากู้

เนื่องจากผลการสังเคราะห์ของก้อนวิชชอนด้านได้รับผลกระทบโดยตรงจากคุณภาพของสารตั้งต้น ในการวิจัยนี้จึงต้องการศึกษาถึงการนำดินขาวจากแหล่งจังหวัดระนองมาสังเคราะห์เพื่อให้ได้วัสดุเซรามิกผสาน $\text{Al}_2\text{O}_3 - \text{SiC}_w$ และศึกษา

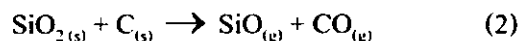
ผลกระทบจากตัวแปรที่อาจส่งผลต่อผลลัพธ์คือ เช่น เวลาในการบดผสมสารตึงตันอัตราส่วนผสมเชิงโมลของคินขาว-คาร์บอนอุณหภูมิของปฏิกิริยา และเวลาในการอบ

2. การวิเคราะห์ทางอุณหพลศาสตร์

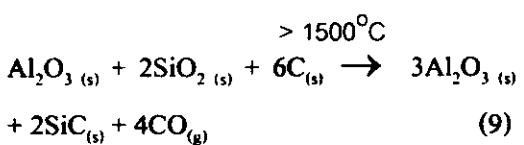
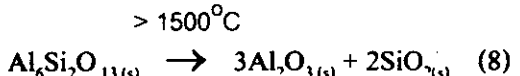
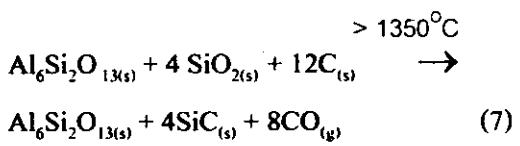
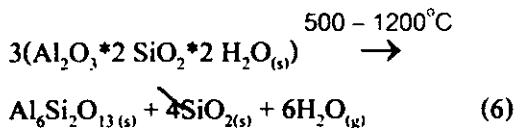
ในงานวิจัยนี้คินขาว (Kaolin : $\text{Al}_2\text{O}_3 \cdot 2\text{SiO}_2 \cdot 2\text{H}_2\text{O}$) และถ่านกัมมันต์ (activated carbon : C) ถูกนำมาใช้เป็นสารตึงตัน สำหรับปฏิกิริยาการบดดักชัน ซึ่งสามารถเขียนให้อยู่ในรูปของสมการปฏิกิริยาเบริลว่า



ก่อนที่จะเกิดปฏิกิริยาการบดดักชัน คินขาวจะถูกน้ำ (dehydroxylates) ไปเป็น เมตากาลิน (metakaolin) ที่อุณหภูมิประมาณ 500°C ที่อุณหภูมิสูงขึ้น แคนนา-อะลูมินาชนิดหลักไม่สมบูรณ์ (γ -alumina) และมัลลิต (mullite) จะก่อตัวเกิดขึ้น เฟสของสารที่อุณหภูมิสูง เช่น มัลลิตและคริสตobelite(cristobalite) จะเกิดขึ้นที่ อุณหภูมิ 1350°C อุณหภูมิช่วง $1500 - 1600^\circ\text{C}$ ชิลิกาอิสระ (amorphous silica, cristobalite) และชิลิกาที่มีพันธะอยู่ในมัลลิตจะทำปฏิกิริยากับคาร์บอน โดยปฏิกิริยาเก๊ส-ของแข็ง [2] ดังเช่น



ดังนั้นปฏิกิริยาที่จะทำให้ผลลัพธ์เป็นวัสดุเซรามิกผสมของ $\text{Al}_2\text{O}_3 - \text{SiC}$ จากส่วนผสมของคินขาวและคาร์บอน ภายใต้บรรยายกาศของอาร์กอน โดยการให้ความร้อนสามารถเขียนได้ว่า



จากการวิเคราะห์ทางอุณหพลศาสตร์ โดยอาศัยหลักการของ พลังงานกินส์ต่ำสุด (Gibbs energy minimization) จะมีความเสถียรทางอุณหพลศาสตร์สูงที่สุด นำไปคำนวณเบริลน์ที่มีความเป็นไปได้ แล้วแสดงผลในรูปของกราฟความสมดุลของส่วนผสมในระบบที่อุณหภูมิต่างๆ ดังแสดงในรูปที่ 1 พบร่วมที่ประมาณ $> 1500^\circ\text{C}$

SiO_2 ทำปฏิกิริยากับ คาร์บอน เป็น SiC แทนทั้งหมด โดยที่สารเสถียรในรูปของแข็งอื่น มีเพียง Al_2O_3 ทำให้สามารถสังเคราะห์ Al_2O_3 - SiC ที่ อุณหภูมิประมาณ $1500 - 1750^{\circ}\text{C}$ และเมื่อปล่อยให้เย็นตัวลงก็จะได้เซรามิก ผสม Al_2O_3 - SiC ตามต้องการ เนื่องจาก Al_2O_3 และ SiC เป็นสารเสถียรไม่ทำปฏิกิริยา ข้อนกลับในที่ อุณหภูมิคั่งกล่าว

3. วิธีการศึกษา

3.1 วัสดุดิบ

คินขาวจากแหล่งจังหวัดระนอง (จาก บริษัท MRD Co. Ltd.) และอนุภาคถ่านกัน มันต์ (charcoal activated decolorizing PDR : Ajax Finechem) ถูกนำมาใช้เป็นสารตั้งต้น ของปฏิกิริยาcarbo ไบรีดัชัน เพื่อสังเคราะห์ อนุภาคเซรามิกผสม คินขาวเป็นสินแร่ที่มี องค์ประกอบหลัก คือ อะลูมิโนซิลิเกต (aluminosilicate) ที่มีรากฐาน และผลจาก การวิเคราะห์องค์ประกอบทางเคมีของคิน ขาวที่นำมาทดลอง โดยวิธีวิเคราะห์แบบ XRF (X-ray fluorescence spectrometer : PHILIPS, PW2400) แสดงในตารางที่ 1

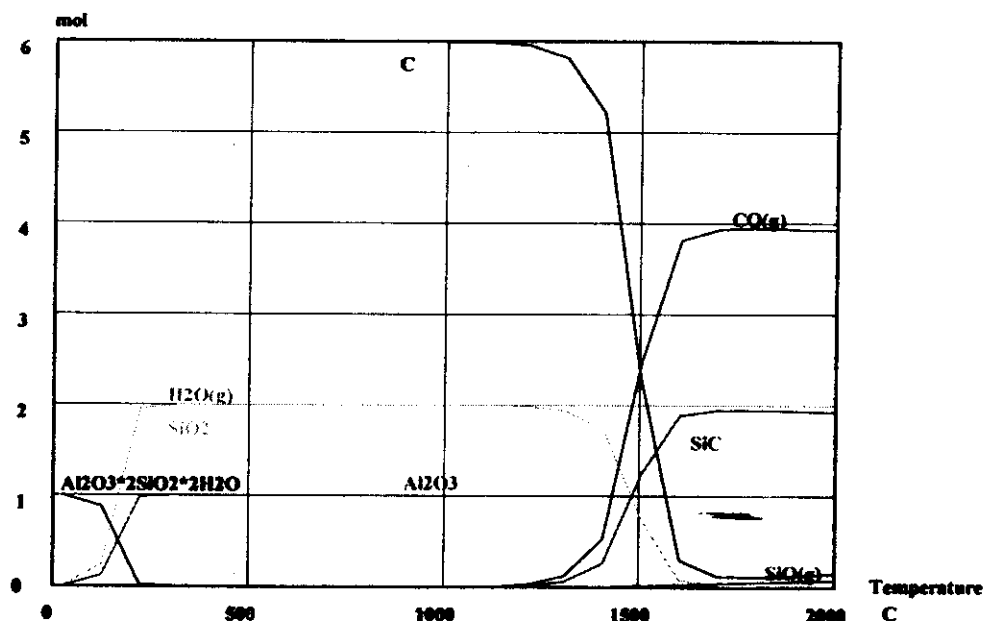
จากการวิเคราะห์โดยวิธี XRD (X-ray Diffractometer : PHILIPS, X'Pert MPD with Cu K α radiation) ในการจำแนกชนิด ของสารที่มีอยู่ในวัสดุ และวิเคราะห์ โครงสร้างพื้นผิวของวัสดุโดย SEM

(Scanning Electron Microscope : JEOL JSM-5800LV) พบว่า คินขาวที่นำมาใช้ใน การทดลองมีลักษณะเป็นแผ่น และถ่านเริขว ขนาดสั้น ดังแสดงในรูปที่ 2(ก) ส่วนถ่านกัน มันต์ แสดงอยู่ในรูปที่ 2(ข) โดยผลที่ได้จาก การวิเคราะห์ XRD ทำให้ทราบว่า สารประกอบด้วยผลึกของสารประกอบต่าง ๆ ดังแสดงในตารางที่ 2 และแสดงพื้นในรูป ที่ 3

3.2 อุปกรณ์และเครื่องมือ อุปกรณ์หลักที่ใช้ในการวิจัย ประกอบด้วย

1) เครื่องบดสมานนิคพลังงานสูง (Planetary ball-milled : Fritsch GMBH, Pulverisette 6)

2) ชุดเตาอบควบคุมบรรยายกาศ อุณหภูมิสูง (High Temperature Tube Furnace : Carbolite , CTF 18/75/600) ดัง แสดงในรูปที่ 4 เตาอบนี้สามารถทำความ ร้อนภายในเตาได้สูงถึง 1800°C ท่อของเตา อบทำมาจากมอลลิต และความคุณอุณหภูมิ ของเตาอนคัวชูคควบคุมอุณหภูมิ Carbolite 2408 การควบคุมบรรยายกาศภายในเตาทำได้ โดยการผ่านแก๊สอะร์กอน เข้าสู่เตาที่อัตรา การไหลคงที่ เพื่อให้ภายในเตาอบมีความดัน สูงกว่าบรรยายกาศเพียงเล็กน้อย



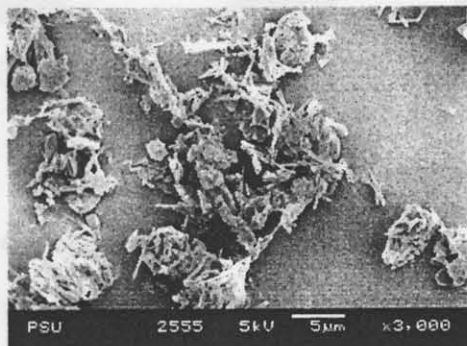
รูปที่ 1 กราฟความสมดุลของส่วนผสมในระบบ $(\text{Al}_2\text{O}_3 \cdot 2\text{SiO}_2 \cdot 2\text{H}_2\text{O}_{(g)} + 6\text{C}_{(s)})$ ในบรรดาการของแก๊สสารกอน ที่ อุณหภูมิต่างๆ

ตารางที่ 1 องค์ประกอบทางเคมีของคินชาวที่ใช้เป็นสารตั้งต้นของปฏิกิริยาการใบริดักชัน

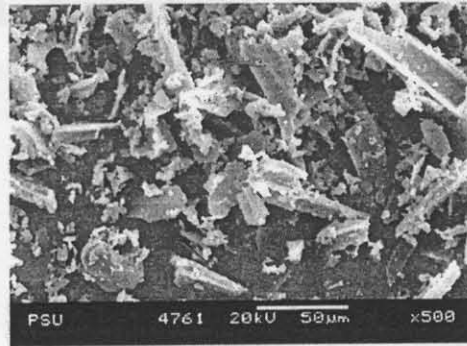
สารประกอบ	Conc.%
Al_2O_3	38.86
SiO_2	53.18
K_2O	5.28
Fe_2O_3	2.43
MnO_2	0.20
Rb	0.04
Trace Elements : Mg S Ti Cu Zr Sn W	-

ตารางที่ 2 ผลลัพธ์ของสารประกอบที่พบในดินขาวจากการวิเคราะห์โดยวิธี XRD

Chemical Name	Chemical Formular
Kaolinite	$\text{Al}_2\text{Si}_2\text{O}_5(\text{OH})_4$
Vermiculite	$(\text{Mg},\text{Al})_3(\text{Si},\text{Al})_4\text{O}_{10}(\text{OH})_2 \cdot 4\text{H}_2\text{O}$
Muscovite	$(\text{K},\text{Na})(\text{Al},\text{Mg},\text{Fe})_2(\text{Si}_{3.1}\text{Al}_{0.9})\text{O}_{10}(\text{OH})_2$
Halloysite	$\text{Al}_2\text{Si}_2\text{O}_5(\text{OH})_4 \cdot 2\text{H}_2\text{O}$

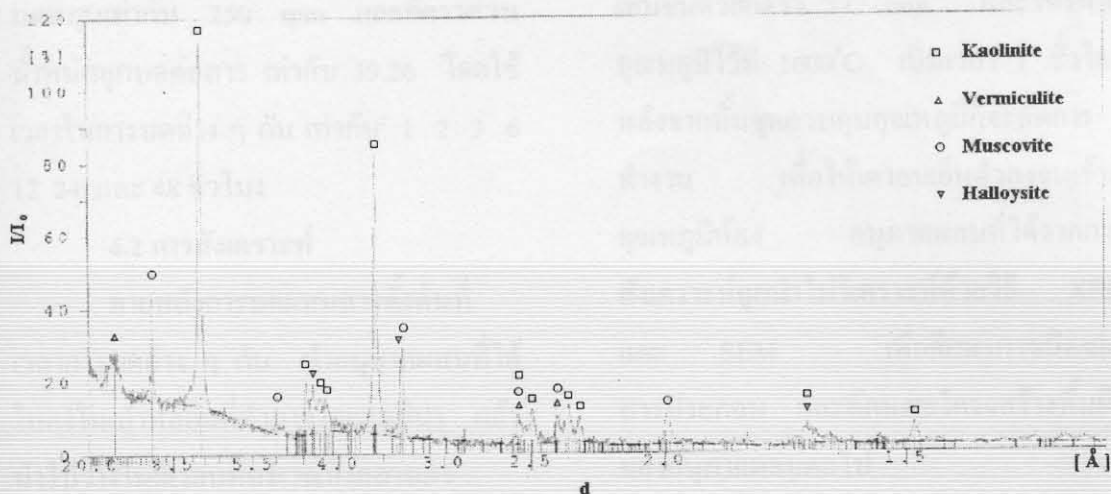


(n)

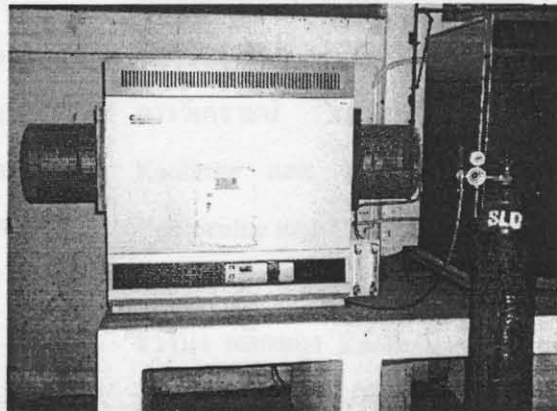


(u)

รูปที่ 2 ลักษณะโครงสร้างพื้นผิวของสารก่อносน จากการวิเคราะห์แบบ SEM (ก) ดินขาว
(ข) ถ่านกัมมันต์



รูปที่ 3 แสดงพื้กของผลลัพธ์ของสารประกอบที่พบในดินขาวจากการวิเคราะห์โดยวิธี XRD



รูปที่ 4 แสดงอุปกรณ์ที่ใช้ในการวิจัย (ก) เครื่องบดผสมชนิดพลังงานสูง(ข) ชุดเตาอบควบคุมบรรยายกาศอุณหภูมิสูง

4. ขั้นตอนการทดลอง

4.1 การเตรียมสาร

การตรวจสอบตัวอย่างของปูนซีเมนต์ ให้ตัดชิ้นขนาด 10x10x30 mm และตัดออกเป็นชิ้นสี่เหลี่ยมที่กว้าง 6 : 1 ซึ่งเป็นอัตราส่วนเชิงไมลของสมการปูนซีเมนต์รวม ดังสมการที่ (1) ส่วนผสมที่ควรได้ถูกนำไปบดผสมด้วยเครื่องบดที่ความเร็วถ่วง บดหมุนเท่ากับ 250 rpm และอัตราส่วนน้ำหนักลูกบดต่อสาร เท่ากับ 39.26 โดยใช้เวลาในการบดต่าง ๆ กัน เท่ากับ 1 2 3 6 12 24 และ 48 ชั่วโมง

4.2 การสังเคราะห์

ภายหลังการบดผสมสารตัวอย่างที่เวลาการบดต่าง ๆ กัน นำอนุภาคผสมที่ได้ใส่ลงในเบ้าหลอมที่ทำมาจากอะลูมิเนียม แล้วนำไปปะทวนในเตาอบที่บริเวณกึ่งกลางเตา เพื่อให้สารตัวอย่างได้รับความร้อนที่สม่ำเสมอ

ภายหลังจากปิดหน้าเปล่นไฟท่อของเตาอบเรียบร้อยแล้ว จึงเปิดชุดควบคุมการไอลอจแก๊สโซร์ก่อนให้มีอัตราการไอลอจเท่ากับ 3 LPM หลังจากนั้นปรับชุดควบคุมอุณหภูมิให้เริ่มการทำความร้อนภายในเตาอบ โดยมีขั้นตอนการทำความร้อนคือ จากอุณหภูมิห้องสู่ 1500°C เพิ่มขึ้นด้วยอัตรา $10^{\circ}\text{C min}^{-1}$ และจาก 1500°C สู่ 1600°C เพิ่มขึ้นด้วยอัตรา $5^{\circ}\text{C min}^{-1}$ และให้รักษาอุณหภูมิไว้ที่ 1600°C เป็นเวลา 1 ชั่วโมง หลังจากนั้นชุดควบคุมอุณหภูมิก็จะตัดการทำงาน เพื่อให้เตาอบเย็นด้วยลมจนเข้าสู่อุณหภูมิห้อง อนุภาคผสมที่ได้จากการสังเคราะห์ถูกนำໄไปวิเคราะห์ด้วยวิธี XRD และ SEM เพื่อศึกษาหาชนิดของสารประกอบ และลักษณะโครงสร้างพื้นผิวของอนุภาคผสมต่อไป

5. ผลการทดลองและการวิเคราะห์ผล

ผลการทดลองและการวิเคราะห์ผลจะแบ่งออกเป็น 2 ส่วน โดยส่วนที่หนึ่งแสดงผลการบดผสมสารตั้งต้นที่เวลาในการบดผสมต่าง ๆ กัน และส่วนที่สองแสดงผลการสังเคราะห์ของสารตั้งต้นที่ใช้เวลาในการบดผสมต่างกัน

5.1 ผลกระทบของเวลาในการบดต่อขนาดและโครงสร้างทางเคมีของสารตั้งต้น

ข้อมูลของขนาดอนุภาคที่เวลาในการบดผสมต่าง ๆ กัน ได้จากการวิเคราะห์การกระจายตัวของขนาดอนุภาคด้วยล้ำแสงเลเซอร์ (Laser Particle Size Analyzer : COULTER LS230) ถูกแสดงไว้ในตารางที่ 3 และรูปที่ 5 พบว่าค่าเฉลี่ยของขนาดอนุภาคลดลงอย่างรวดเร็วเมื่อเพิ่มเวลาในการบดจาก 1 ชั่วโมง ถึง 3 ชั่วโมง หลังจากนั้นการลดลงของขนาดเฉลี่ยมีเพียงเล็กน้อย แต่มีข้อแตกต่างที่เด่นชัดคือ ขนาดอนุภาคที่เด็กที่สุดจะลดลงค่อนข้างมาก เมื่อเวลาในการบดเพิ่มจาก 6 ชั่วโมง เป็น 12 ชั่วโมง สำหรับการบดที่ 24 ชั่วโมง อนุภาคโดยทั่วไป เล็กน้อย ซึ่งอาจเป็นผลจากการรวมตัวกัน (agglomeration) ของอนุภาค แล้วถูกแรงบดกระแทกให้แตกอีกรั้งเป็นอนุภาคขนาดเล็กในการบดที่ 48 ชั่วโมง เมื่อพิจารณาความถูกกับผลการวิเคราะห์ด้วย SEM ซึ่งแสดงในรูปที่ 6 และ XRD ซึ่งแสดงในรูปที่ 7 พบว่า เวลาในการบดอนุภาคที่เพิ่มขึ้นทำให้รูปร่างของ

อนุภาคมีลักษณะกลมมนมากขึ้น อนุภาคที่มีลักษณะเป็นเส้นหาดไป เมื่อใช้เวลาในการบด 1-4 ชั่วโมง พิคของสารที่แสดงอยู่ในผลการวิเคราะห์ XRD เหลือเพียงผลึกของ Kaolinite และ Muscovite ส่วนผลึกของ Vermiculite และ Halloysite กว้างขึ้นเล็กน้อย และหายไปในที่สุด เมื่อใช้ในการบดที่ 12 ชั่วโมง ผลึกของ Kaolinite และ Muscovite หายไป แต่ปรากฏผลึกของซิลิ卡 (SiO_2) ขึ้นแทนที่ เมื่อใช้เวลาในการบดเพิ่มสูงขึ้นเป็น 24 ชั่วโมง และ 48 ชั่วโมง อนุภาคผสมแปลงผันเป็น สารอสัมฐาน (amorphous) ซึ่งไม่แสดงพิคของผลึกของสารใด ๆ

ปรากฏการณ์ดังกล่าวสามารถอธิบายได้ว่า อนุภาคเมื่อถูกนำไปบดผสมได้รับพลังงานสะสมในรูปของแวนแคนซี (vacancy) คิสໄโลเคลรัน (dislocation) ขนาดเกรน (grain) ที่เด็กลง และความไม่ระเบียบ (disordering) ของโครงสร้างผลึกที่เพิ่มขึ้น [12] ส่งผลให้สารมีพลังงานเพียงพอที่จะเอาชนะอุปสรรคทางเทอร์โนไคนา mik (thermodynamic barrier) และแปลงผันจากสถานะผลึกไปสู่สถานะอสัมฐาน

5.2 ผลกระทบของเวลาในการบดอนุภาคผสม ต่อการสังเคราะห์เซรามิกผสม

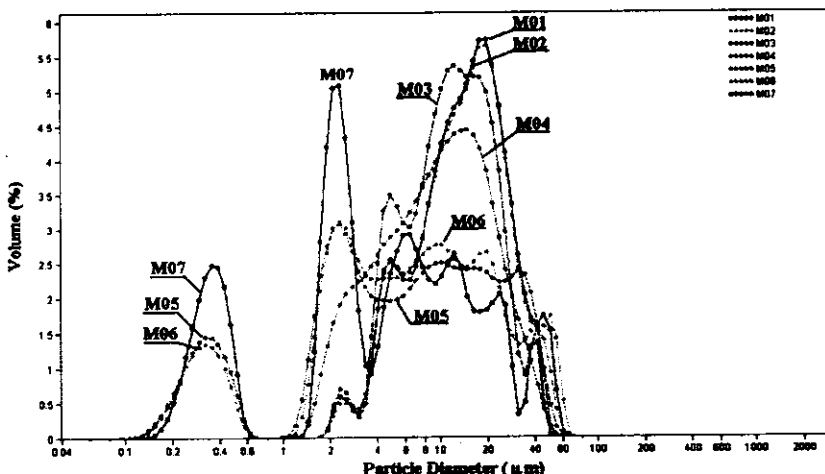
การทดลองทั้งหมดตาม ตารางที่ 4 เกิดปฏิกิริยาการใบเทอร์นิก และได้ผลตัวพท. เป็นอะลูมินา และซิลิคอนคาร์บิเด ตั้งแต่รูปที่ 8 แต่ในการทดลองที่ S1 ถึง S3 ปรากฏมีซิลิโคนบริสุทธิ์ ที่ยังไม่ทำปฏิกิริยา

กับการบอนเหลืออยู่ในระบบ ทั้งนี้การทดสอบ S1 ถึง S3 ซึ่งใช้อุปกรณ์ตั้งต้นจาก การบดที่ 1 ชั่วโมง ถึง 3 ชั่วโมง และมีขนาด อุปกรณ์เฉลี่ยสูงกว่าการทดสอบ S4 ถึง S7 ที่ ใช้อุปกรณ์ตั้งต้นจากการบดที่ 6 ชั่วโมง ถึง 48 ชั่วโมง ผลที่เกิดขึ้นนี้อาจสามารถอธิบายได้ว่า สารตั้งต้นของการทดสอบที่ S1 ถึง S3 ซึ่ง

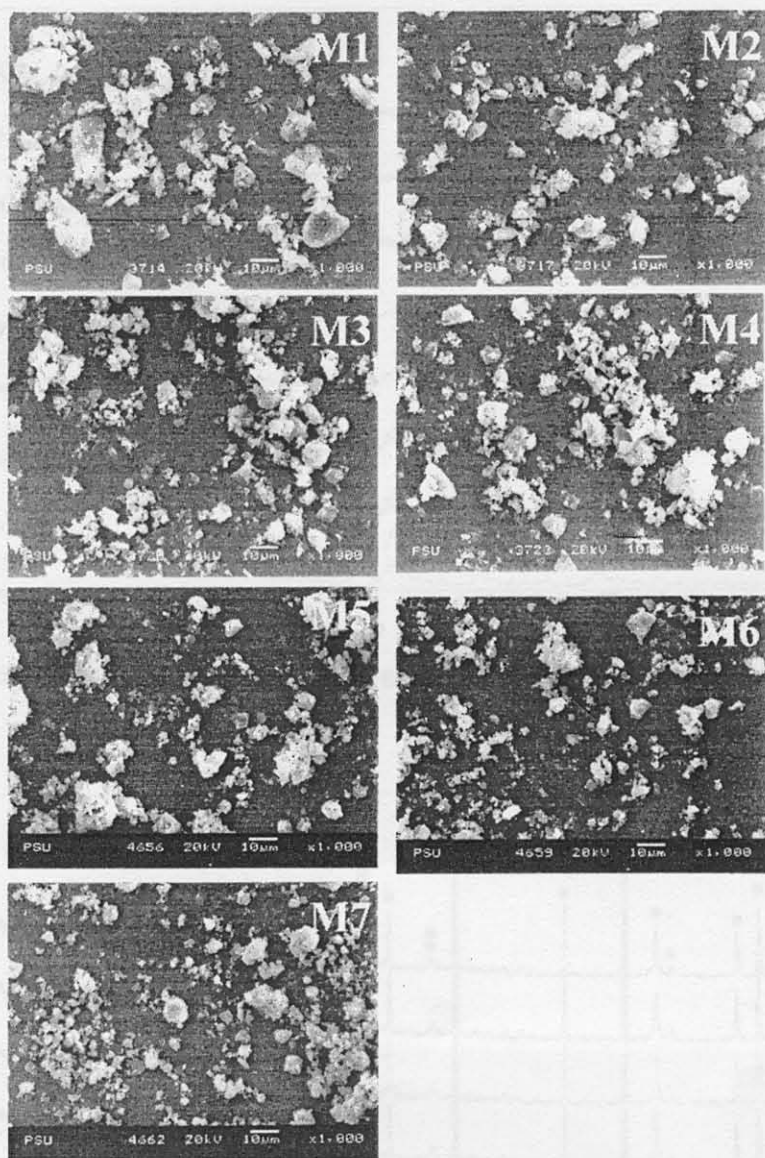
มีขนาดอุปกรณ์ใหญ่กว่าและมีขนาดพื้นที่ผิว ในการทำปฏิกิริยาขนาดย่อมกว่า รวมทั้งเวลาในการบดที่น้อยกว่าทำให้พัฒนาะสมในรูปของแเวนเดนซี่ และความไวระเบียบของผลึกมีน้อยกว่า การทดสอบที่ S4 ถึง S7 ซึ่งส่งผลให้ การทำปฏิกิริยาการใบเทอร์มิกของชิลิกา และการบอนไม่สมบูรณ์

ตารางที่ 3 ขนาดอุปกรณ์ที่ได้จากการบดทดสอบตามข่าวและถ่านกัมมันต์ที่เวลาบดต่าง ๆ กัน

การทดสอบ	เวลาในการบด (ชม.)	ขนาดของอุปกรณ์ (μm)			
		Mean	S.D.	Min.	Max.
M1	1	16.46	11.41	0.496	69.61
M2	2	16.97	12.25	0.375	69.61
M3	3	13.57	9.565	0.375	57.77
M4	6	11.64	9.210	0.375	63.41
M5	12	11.33	11.93	0.040	69.61
M6	24	11.52	12.21	0.040	76.42
M7	48	7.688	8.375	0.040	52.62



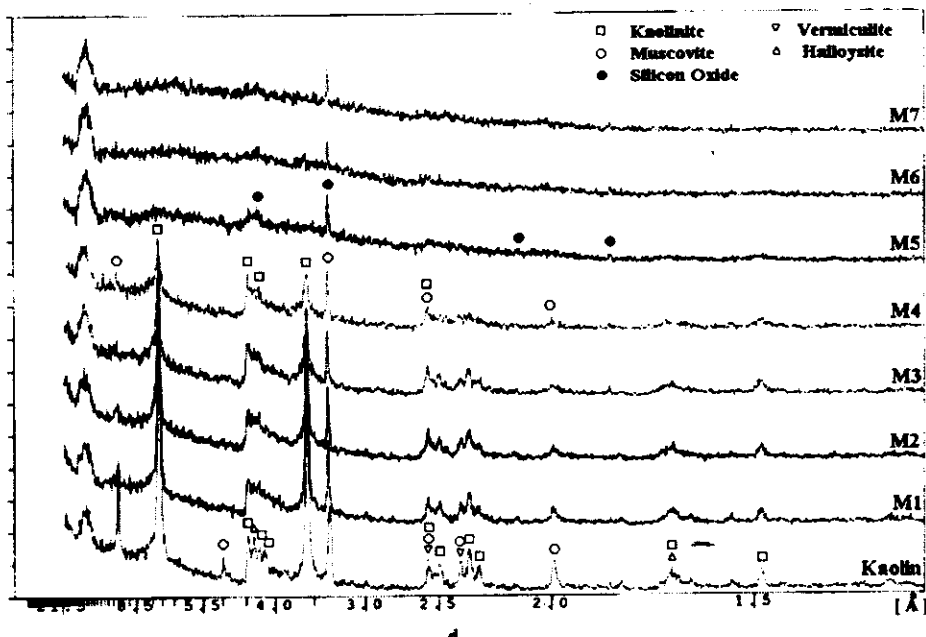
รูปที่ 5 แสดงขนาดของอุปกรณ์ตามถ่านกัมมันต์ที่เวลาบดต่าง ๆ กัน



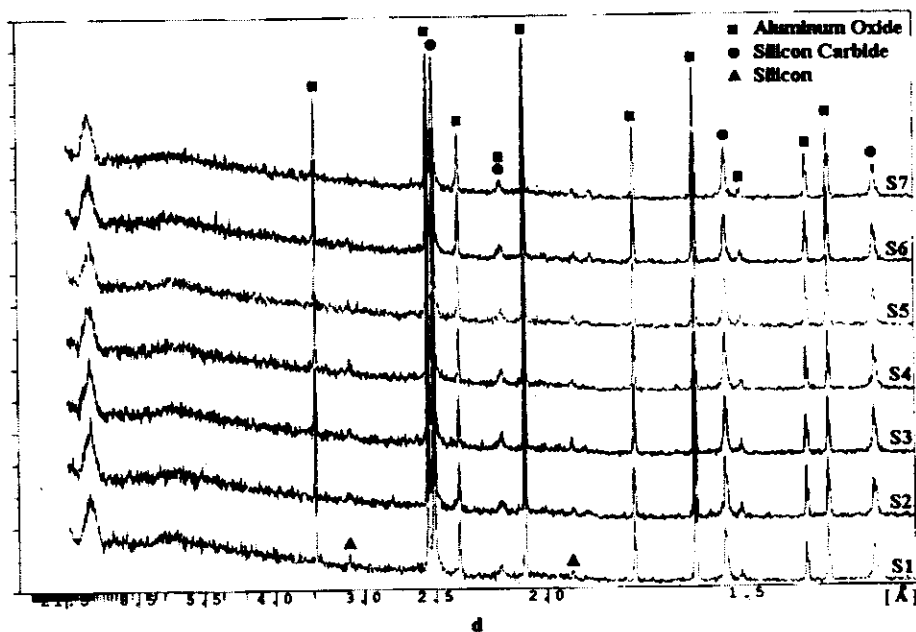
รูปที่ 6 โครงสร้างพื้นผิวของอนุภาคผสมที่เวลาในการบดต่างกัน โดย M1 = 1 ช.m.
M2 = 2 ช.m. M3 = 3 ช.m. M4 = 6 ช.m. M5 = 12 ช.m. M6 = 24 ช.m.
M7 = 48 ช.m.

ตารางที่ 4 สัญลักษณ์ที่ใช้ในการสังเคราะห์สารตั้งต้นที่ใช้เวลาในการบดต่าง ๆ

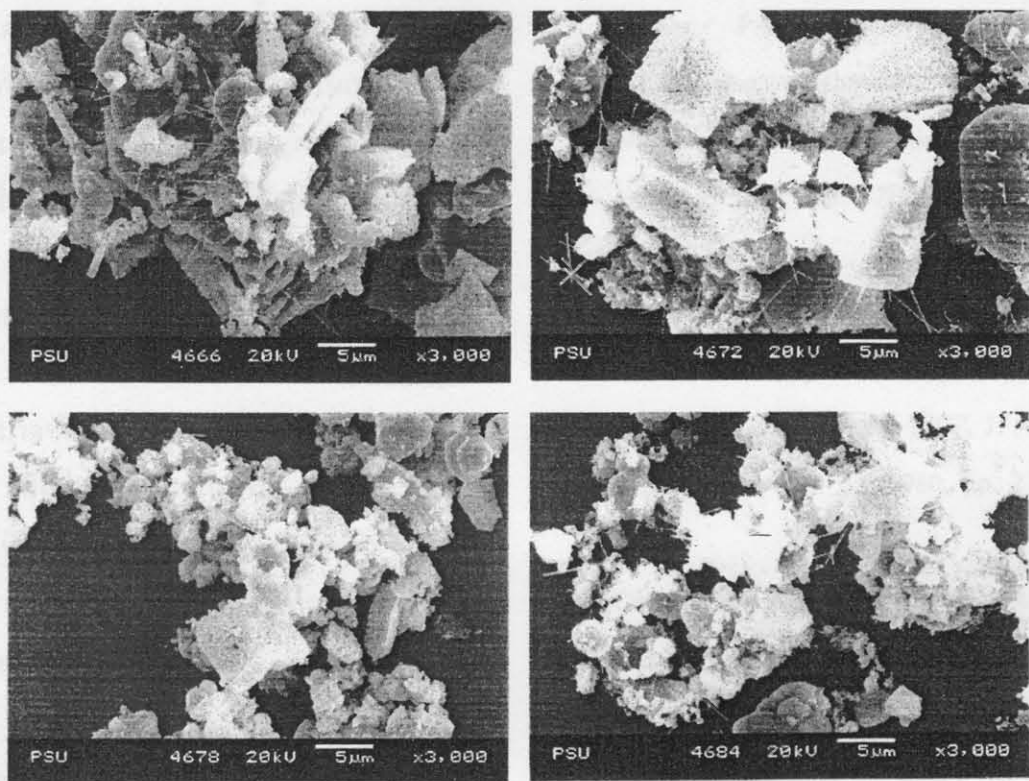
เวลาที่ใช้ในการบด (ช.m.)	1	2	3	6	12	24	48
การบด	M1	M2	M3	M4	M5	M6	M7
การสังเคราะห์	S1	S2	S3	S4	S5	S6	S7



รูปที่ 7 ผลวิเคราะห์โครงสร้างด้วยเครื่อง XRD ของตัวอย่างดินขาว หลังการอบผสานที่เวลาต่างๆ



รูปที่ 8 ผลวิเคราะห์โครงสร้างด้วยเครื่อง XRD ของตัวอย่างที่สังเคราะห์ที่อุณหภูมิ 1600°C ภายใต้บรรยากาศของอาร์กอน โดยมีการตั้งต้นจากการอบผสานที่เวลาต่างๆ



รูปที่ 9 โครงสร้างพื้นผิวของอนุภาคจากการสังเคราะห์

โดยธรรมชาติของปฏิกิริยาการโน๊เทอร์มิก ซึ่งแสดงอยู่ในสมการที่ (2) ถึง (5) พบว่า ปฏิกิริยาหลักจะเป็นปฏิกิริยาในสถานะแก๊ส (vapor phase reaction) ซึ่งส่งผลให้เกิดการก่อรูปของ ชิลิกอน คาร์ไบด์ในรูปของเส้นใย (whiskers) พบว่า นอกจากอนุภาครูปร่างเป็นเส้น ซึ่งคือ ชิลิกอน คาร์ไบด์แล้วยังมีผลึกเป็นแผ่น (plate) และกลุ่มเส้นใย (fibrous cluster) ซึ่งมีลักษณะคล้ายอนุภาครูน (รูปที่ 9) ซึ่งอนุภาคนี้เป็นผลของการที่โลหะซึ่งปั้นอยู่ในคินขาว (เหล็กและโลหะเชิงมีด) และลายที่อุณหภูมิสูงทำให้เป็นตัวดึงดูด

อะตอมของชิลิกอนและการรับอนจากแก๊สที่ปักกลุ่มอยู่ และเป็นตัวเร่ง (catalysts) ในการก่อรูปของเส้นใยชิลิกอนคาร์ไบด์ [3] เมื่ออะตอมเหล่านี้อิ่มตัวในตัวเร่งที่หลอมเหลวทำให้เกิดการนิวเคลียชันที่ศักด้านข้าง (side branched nucleation) ส่งผลให้เกิดเป็นโครงสร้างกลุ่มเส้นใย ส่วนอะลูมินา ไม่ทำปฏิกิริยาที่อุณหภูมนี้จึงยังคงลักษณะของผลึกไว้ และมีลักษณะเป็นแผ่น

6. สรุปผลการทดลอง

จากผลการทดลองพบว่า สามารถสังเคราะห์อนุภาคเซรามิกผสมของอะลูมินา

ชิลิกอน คาร์ไบด์ จากราดตั้งดันคินขาว และ ถ่านกัมมันต์ โดยปฏิริยาการ์โนเทอร์นิกที่ อุณหภูมิ 1600°C ลักษณะอนุภาคที่ได้แสดง ให้เห็นว่า ชิลิกอน คาร์ไบด์ก่อรูปเป็นเส้น ไข่ และกลุ่มเส้นไข่ ส่วนอะลูมินาจะมี ลักษณะเป็นแผ่น

เวลาในการบดของสารตั้งต้นส่งผล ถึงขนาดของอนุภาค และการแปลงรูปเป็น สาร อัลฟ์รูนา ที่เวลาในการบดมากขึ้น โดย เวลาที่ใช้ในการบด 6 ชั่วโมงขึ้นไป จะ สามารถสังเคราะห์อะลูมินา-ชิลิกอนคาร์ไบด์ ได้อย่างสมบูรณ์

7. กิตติกรรมประกาศ

ผู้เขียนขอขอบคุณ

ทบทวนมหาวิทยาลัย และสำนักงานกองทุน สนับสนุนการวิจัย (สกอ.) สำหรับการให้ทุน สนับสนุนการวิจัย (รหัสโครงการ MRG 4680024) ขอขอบคุณบริษัท มีเนอร์ล รีซอร์ส เชส คีเวลอปเม้นต์ จำกัด สำหรับคินขาวที่ บริษัทมอบให้ใช้ในการวิจัย และขอขอบคุณ ภาควิชาวิศวกรรมเหมืองแร่และวัสดุ คณะ วิศวกรรมศาสตร์ มหาวิทยาลัยสงขลานครินทร์ ที่ให้ความ อนุเคราะห์สถานที่ และเครื่องมือ ประกอบการวิจัย ทำให้การวิจัยดำเนินไป ด้วยดี

8. เอกสารอ้างอิง

- Becher, P.F. and Wel, G.C., "Toughening Behavior in SiC-Whisker-Reinforced Alumina", Comm. Am. Cer. Soc., Vol. 67[12], 1984, pp. C267-C269
- Bechtold, B.C. and Cutler, I.B., "Reaction of Clay and Carbon to Form and Separate Al_2O_3 and SiC", J. Am. Ceram. Soc., Vol. 63, 1980, pp. 271-275
- Chaklader, A.C.D., Das Gupta, S., Lin, E.C.Y., and Gutowski, B., "Al₂O₃ - SiC Composites from Aluminosilicate Precursors", J. Am. Ceram. Soc., Vol. 75, 1992, pp. 283-285
- Dubois, J., Amroune, A., Carboneau, X., Murat, M., and Kannan, T.S., "High-Temperature Transformation in Kaolin : the Role of the Crystallinity and of the Firing Atmosphere", Appl. Clay Sci., Vol. 10, No 3, 1995, pp. 187-198
- Dubois, J., Murat, M., Amroune, A., Carboneau, X., Gardon, R., and Kannan, T.S., "High-temperature Carboreduction of Kaolin of Different Crystallinity", Appl. Clay Sci., Vol. 13, 1998, pp. 1-12,
- Panda, P.K., Mariappan, L., and Kannan, T.S., "The Effect of Various

- Reaction Parameters on Carbothermal Reduction of Kaolinite", Ceramics International, Vol.25, 1999, pp. 467-473,
7. Chen, C.Y., Lan, G.S., and Tuan, W.H., "Microstructure Evolution of Mullite During the Sintering of Kaolin Powder Compacts", Ceramics International, Vol.26, 2000, pp. 715-720,
8. Fagury-Neto, E., and Kiminami, R.H.G.A., "Al₂O₃/mullite/SiC Powders Synthesized by Microwave-assisted Carbothermal Reduction of Kaolin", Ceramics International, Vol. 27, 2001, pp. 815-819.
9. Chen, C.Y., and Tuan, W.H., "The Processing of Kaolin Powder Compact", Ceramics International, Vol. 27, 2001, pp. 795-800.
10. Mariappan, L., Kannan, T.S., and Umarji, A.M., "In Situ Synthesis of Al₂O₃-ZrO₂-SiC_w Ceramic Matrix Composites by Carbothermal Reduction of Natural Silicates", Mat. Chem & Phys., Vol. 75, 2002, pp. 284-290,
11. Lin, Y.J., and Tsang, C.P., "The Effects of Starting Precursors on the Carbothermal Synthesis of SiC Powders", Ceramics International, Vol. 29, 2003, pp. 69-75
12. Zhang, D.L., "Processing of Advanced Materials Using High-Energy Mechanical Milling", Progress in Materials Science, Vol. 49, 2004, pp. 537-560

SYNTHESIS OF Al_2O_3 - SiC_w CERAMIC MATRIX COMPOSITE BY CARBOTHERMAL REDUCTION OF KAOLIN

Sutham Niyomwas¹, Lek Sikong²

¹Department of Mechanical Engineering, Faculty of Engineering,
Prince of Songkla University, Hat Yai, Songkla, Thailand

²Department of Mining and Materials Engineering, Faculty of Engineering,
Prince of Songkla University, Hat Yai, Songkla, Thailand

Keywords: Al_2O_3 - SiC_w , Ceramic Matrix Composite, Carbothermal Reduction, Kaolin

Abstract

The formations of Al_2O_3 - SiC_w composite have been obtained *in situ* by carbothermal reduction of a mixture of kaolin and activated carbon. The reaction temperature was controlled at between 1400°C to 1600°C. The synthesized products were mixtures of alumina and silicon carbide in the form of whiskers. The effects of milling time of precursors and reaction temperature are presented. XRD and SEM analyses indicate complete reaction of precursors to yield Al_2O_3 - SiC as product powders, with the SiC having porous and whisker morphology.

Introduction

Ceramic materials have important roles in structural materials and everyday needs applications such as pottery, cements, high-temperature refractory materials and their coatings. There are some problems with ceramic materials, however, are that they are frequently fragile, lack toughness and can fracture readily upon impact. In order to overcome these problems, many systems of ceramic matrix composites have been proposed. One important system was silicon carbide whisker (SiC_w) reinforced alumina ceramic [1].

Al_2O_3 - SiC_w ceramic matrix composite can be fabricated via two routes, physical mixing or ceramic processing and chemical synthesis. Many of earlier works reported on the ceramic composite were via ceramic processing route. The ceramic processing of ceramic powder with SiC_w required expensive starting materials and special cautions because SiC_w are potentially harmful to human health [2]. The chemical synthesis route such as carbothermal reduction of kaolin-carbon is considered as less expensive precursors to produce *in situ* Al_2O_3 - SiC_w .

Carbothermal reaction uses carbon as a reducing agent for high temperature reaction. The reaction has been found very effective in reducing oxides to lower oxides, metallic oxides to metals and even metallic carbides [3]. Normally, carbothermal reaction is carried out under inert gas atmosphere to prevent oxidation of carbon. Bechtold and Cutler [4] studied the separation of clay minerals in order to obtain alumina by carbothermal reaction and in the process they were able to obtain silicon carbide whiskers as well.

In the early trials, which were not known as a route to produced ceramic matrix composites powders by carbothermal reaction, many research groups exploited this reaction for producing Al_2O_3 - SiC_w composites powders [5-13]. Base on the results reported by those research groups which have the direct effect from properties of precursors, this present work was carried out the effect of milling time of the precursors and reaction temperature to the synthesis products.

Thermodynamic Analysis

Thermodynamic analysis is based on Gibbs energy minimization method, owing to the fact that the Gibbs energy of the system reaches its minimum value at equilibrium. The thermodynamic formulation is given as [14]:

$$G = \sum_{gas} n_i (g_i^o + RT \ln P_i) + \sum_{pure\ condensed\ phase} n_i g_i^o + \sum_{solution-1} n_i (g_i^o + RT \ln x_i + RT \ln \gamma_i) + \sum_{solution-2} n_i (g_i^o + RT \ln x_i + RT \ln \gamma_i) \quad (1)$$

where, G is the total Gibbs energy of the system; g_i^o is the standard molar Gibbs energy of species i at P and T ; n_i is the molar number of species i ; P_i is the partial pressure of species i ; x_i is the mole fraction of species i ; and γ_i is the activity coefficient of species i .

In this study kaolin ($\text{Al}_2\text{Si}_2\text{O}_7 \cdot 2\text{H}_2\text{O}$) and activated carbon (C) were used as precursors for the carbothermal reaction. The overall chemical reaction can be expressed as:



The equilibrium composition of $\text{Al}_2\text{Si}_2\text{O}_7 \cdot 2\text{H}_2\text{O}-\text{C}$ system at different temperatures was calculated using Gibbs energy minimization method and the results are shown in Figure 1.

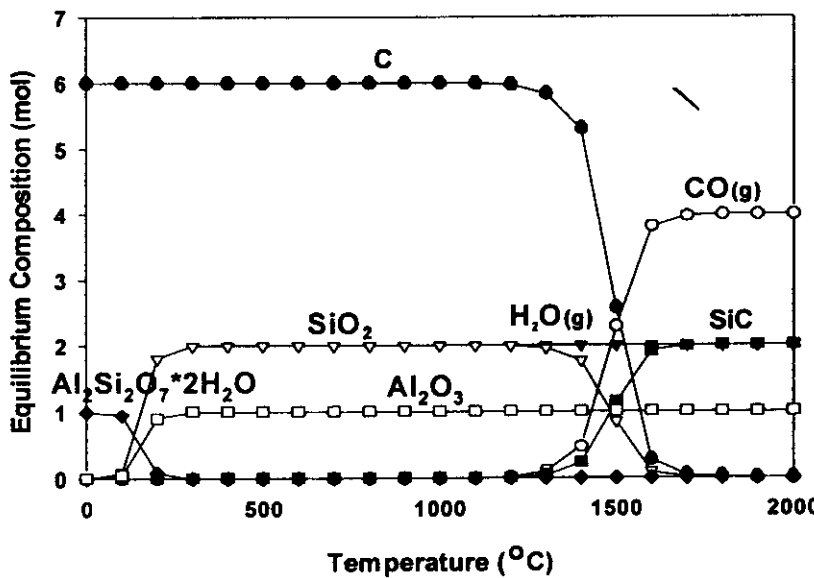
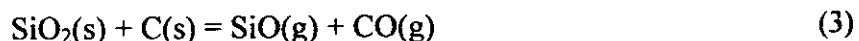
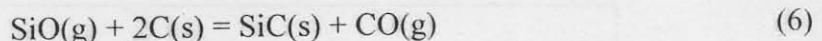
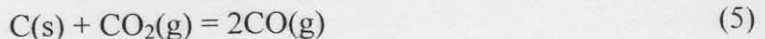
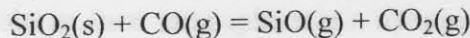


Figure 1: Equilibrium composition of $\text{Al}_2\text{Si}_2\text{O}_7 \cdot 2\text{H}_2\text{O}-\text{C}$ system in Ar(g) atmosphere.

In the temperature range of $1200 - 1600^\circ\text{C}$, some species become unstable and begin to form other stable phase. For example, silica reacts with carbon to form silicon carbide. Bechtold and Cutler [4] showed that at $1300 - 1500^\circ\text{C}$ the only major oxide in kaolin clay to be reduced by carbon will be SiO_2 . These authors showed that the reaction (3) or its reactions (4) and (5) enough carbon was mixed with clay to reduce all the $\text{SiO}_2(s)$ to $\text{SiO}(g)$ and additional carbon surrounding this mixture was used to satisfy reaction (6). When temperature is over 1600°C in the furnace, only the alumina and silicon carbide are thermodynamic stable phase. The final composition in the product depends not only on the thermodynamic condition, but also on the kinetic parameters in the reactor.



(4)



Experimental

Raw Materials and experimental setup

Kaolin powders from Ranong province of Thailand and activated carbon powder (Ajax Finechem) were used as the precursors. The constituents in the as-received powder as analyzed by XRF(PHILIPS, PW2400) were Al_2O_3 (38.86 wt%), SiO_2 (53.18 wt%), K_2O (5.28 wt%), Fe_2O_3 (2.43 wt%), MnO_2 (0.20 wt%), Rb (0.04 wt%) and trace elements of Mg, Ti, Sn, and W. SEM micrographs and XRD pattern of these precursors are presented in Figure 2 and 3.

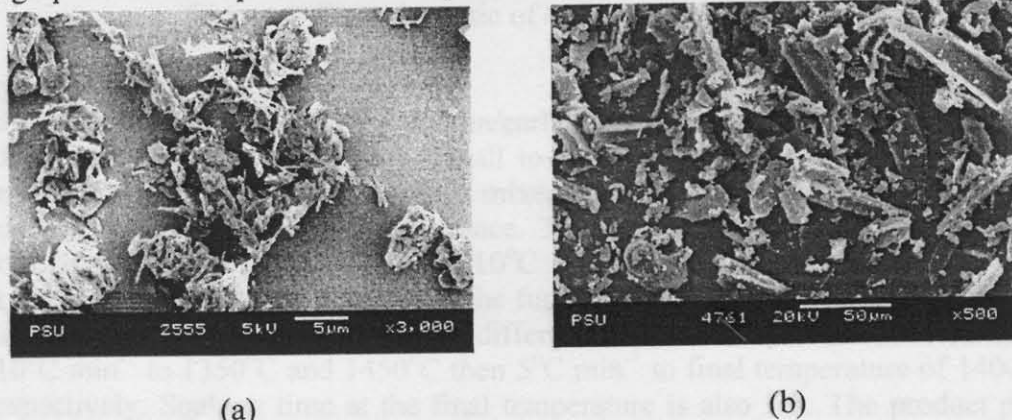


Figure 2: SEM micrographs of precursors: (a) kaolin (b) activated carbon

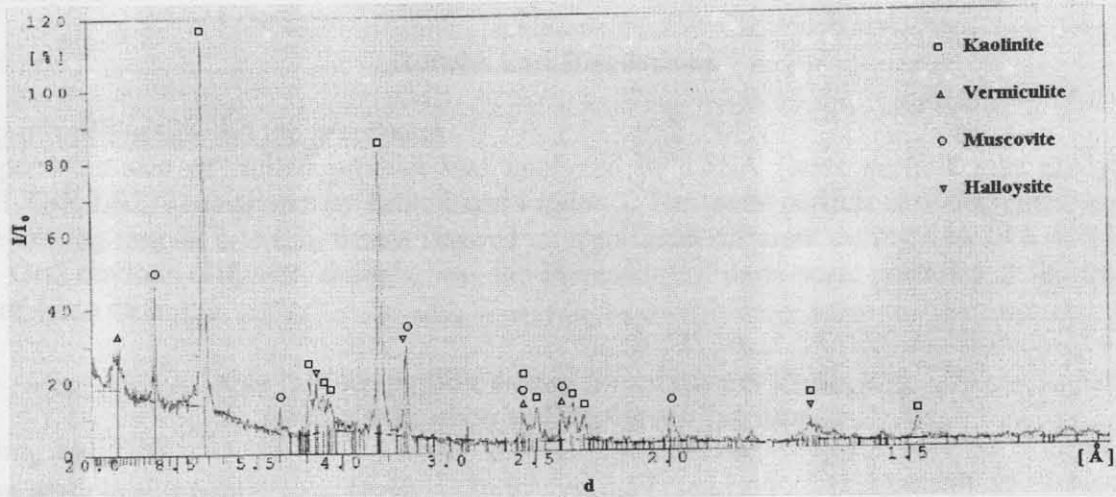


Figure 3: XRD pattern of as-received kaolin powder.

The experimental setup is shown in the Figure 4. A tube furnace (Carbolite, CTF 18/75/600) with maximum working temperature of 1800°C was used in the experiments. The *in-situ* reaction was performed in an alumina crucible, located in a furnace tube with one end connected to Ar gas supply system and another end partially open. Before heating, the furnace tube was evacuated and flushed with pure Ar gas for 2-3 times to remove O₂ and moisture. Then, pure Ar gas introduced at a constant rate (3 LPM) to the furnace throughout the

experimental process to maintain an inert atmosphere. An opening in the furnace end cover serves as the exit for gas. However, the gas in the environment cannot enter the system due to the small pressure difference maintained by the flowing Ar gas.

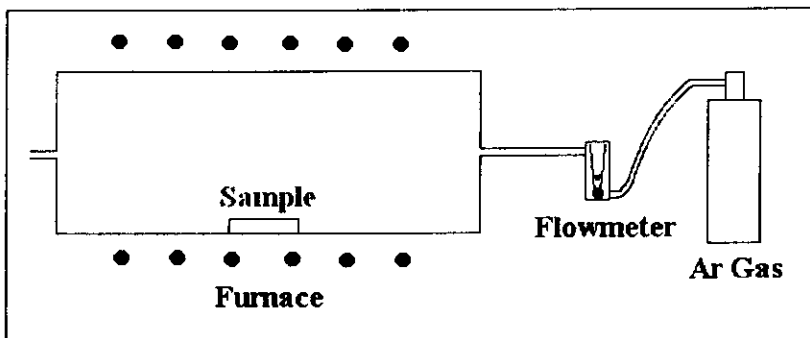


Figure 4: The schematic of experimental setup

Experimental procedure

Kaolin and activated carbon were milled (kaolin/carbon mole ratio = 1/6, 1/8, 1/10) in planetary ball-milled with the speed of 250 rpm and ball to powder weight ratio of 39.26 at different milling time (1, 2, 3, 6, 12, 24 and 48 h). This mixed powder was loaded into alumina crucible and placed it in the middle of the tube furnace. The furnace was heated in a programmed manner from room temperature to 1500°C at 10°C min⁻¹ and 1500°C to 1600°C at 5°C min⁻¹. Soaking at the final temperature for 1 h, then the furnace was turned off, allowing the products cool in the furnace. In case of the study of different reaction temperature, the furnace was heated at 10°C min⁻¹ to 1350°C and 1450°C then 5°C min⁻¹ to final temperature of 1400°C and 1500°C, respectively. Soaking time at the final temperature is also 1 h. The product powders were characterized using XRD (PHILIPS with Cu K α radiation) and SEM (JEOL, JSM-5800 LV) analyses.

Results and Discussions

Effect of milling time on the precursors

The particles size of milled product was analyzed by LPSA (laser particle size analyzer : COULTER LS230) as shown in Table I and Figure 5. The mean particle size decreased rapidly at the milling time of 1 to 6 h, then it showed no significant different during 6 to 24 h of milling time. One obvious different, though, was the increasing of nano-scale particles at the milling time of 12 to 48 h.

Table I: Mean particle size of the mixture of kaolin and activated carbon at different milling time.

Milling Time (h)	1	2	3	6	12	24	48
Mean particle size (μm)	16.46	16.97	13.57	11.64	11.33	11.52	7.69

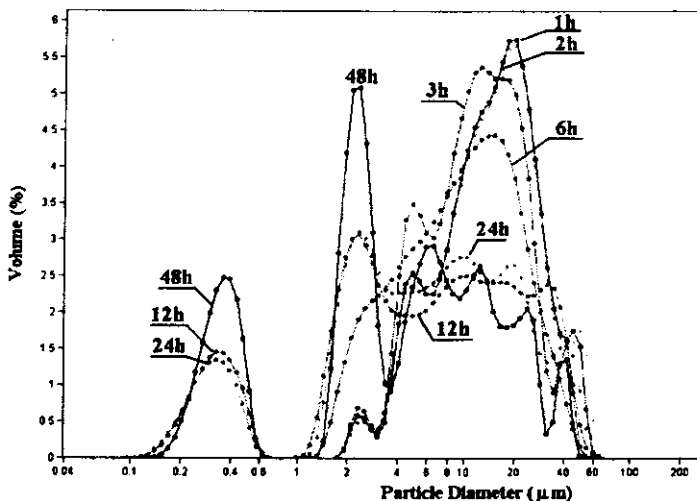


Figure 5: Particles size distribution of the mixture of kaolin and activated carbon at different milling time.

The SEM micrographs (Figure 6) and the XRD patterns (Figure 7) were used to follow the morphological and structural changes of particles during the different milling time. We found that as milling time increases, the particle shape become rounder and the rod-like particles disappear. The XRD patterns display the broader peaks of kaolinite, muscovite, vermiculite and halloysite as milling time increase from 1 to 3 h. The peaks of vermiculite and halloysite disappear at milling time of 6 h and the peaks of kaolinite and muscovite disappear at 12 h and peaks of SiO_2 appeared instead. After milling time of 24 and 48 h all peaks disappeared, indicating of transformation to amorphous phase of all compounds.

These phenomena can be explained as the energy absorption of particles in the form of vacancy, dislocation, grain reduction and the increasing of disordered crystal structure [15]. As the absorbed energy high enough to overcome thermodynamic barrier then the transformation to amorphous phase happen.

Effect of milling time to the synthesis products of ceramic composites

All the synthesized experiments in the Table II had carbothermal reaction and produced alumina and silicon carbide as shown in Figure 8. But in the experiment of S1 to S3 there were pure silicon left unreacted in the system. The reasons for incompletely carbothermal reaction to happen may explain from the precursors used. Since S1 to S3 used milled precursors of 1 to 3 h milling time that have higher mean particles size to the S4 to S7, resulting to the lower surface area for reaction and lower absorbed energy from milling process as well.

Table II: Symbols use for the synthesized experiments and milled precursors

Milling Time (h)	1	2	3	6	12	24	48
Milling	M1	M2	M3	M4	M5	M6	M7
Synthesis (1600°C)	S1	S2	S3	S4	S5	S6	S7
Synthesis (1500°C)	-	-	S8	S9	S10	S11	-
Synthesis (1400°C)	-	-	S12	S13	S14	S15	-

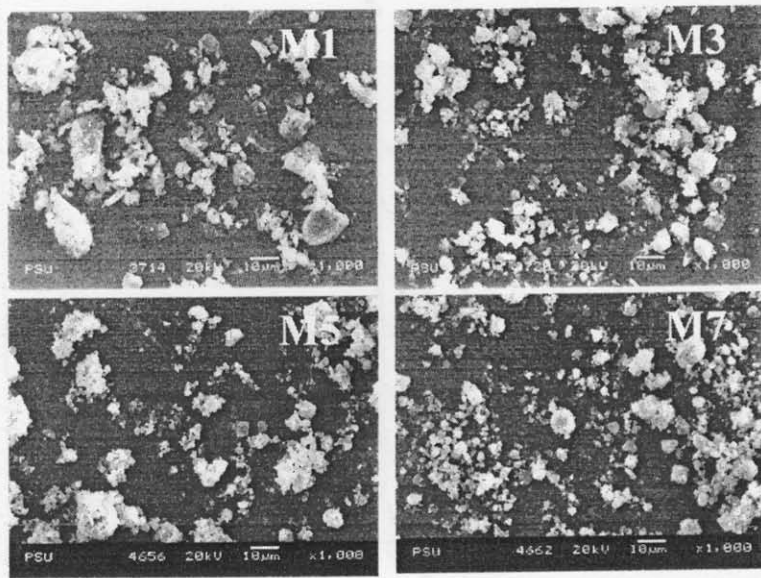


Figure 6: SEM micrographs of the mixture of kaolin and activated carbon at different milling time.

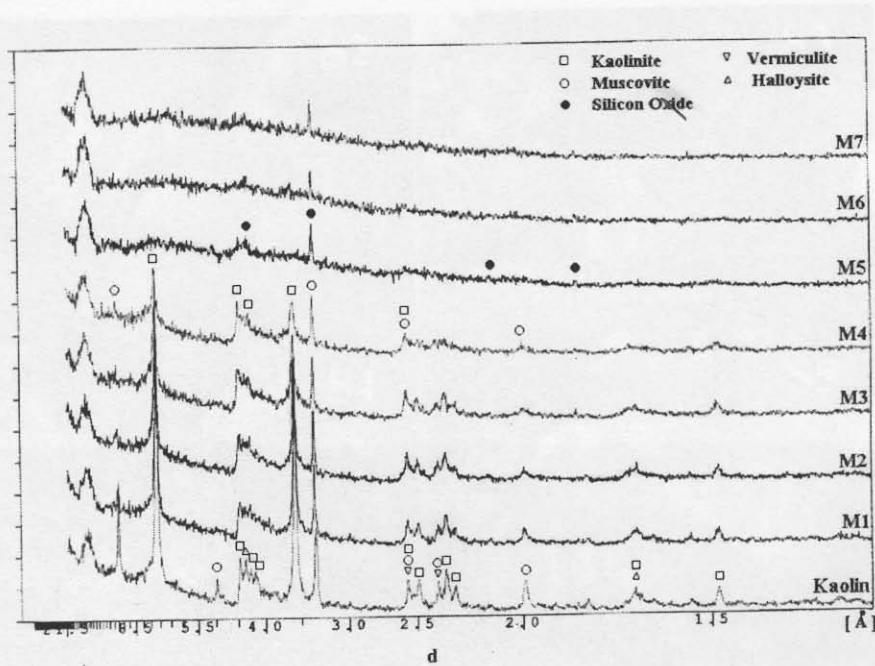


Figure 7: XRD patterns of the mixture of kaolin and activated carbon at different milling time.

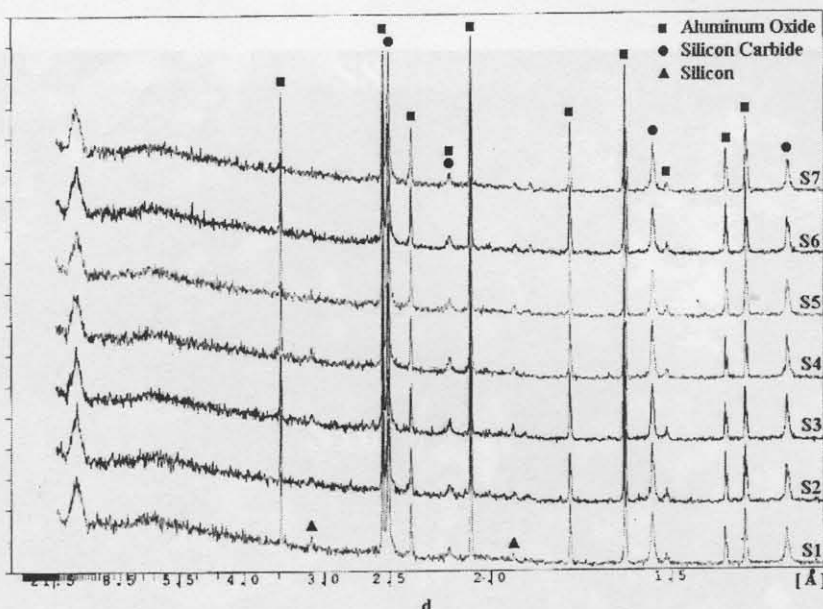


Figure 8: XRD patterns of products from the reaction temperature of 1600°C under Ar gas atmosphere of the precursors at different milling time

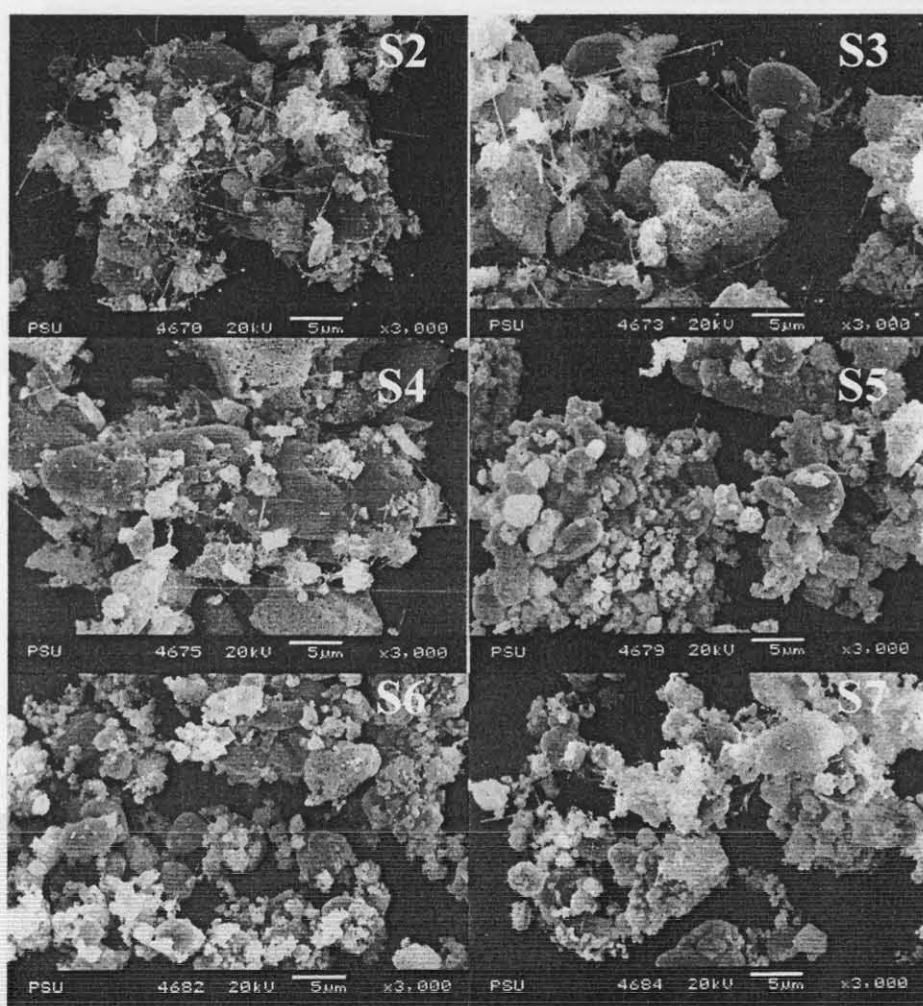


Figure 9: SEM micrograph of typical products morphology from the reaction temperature of 1600°C

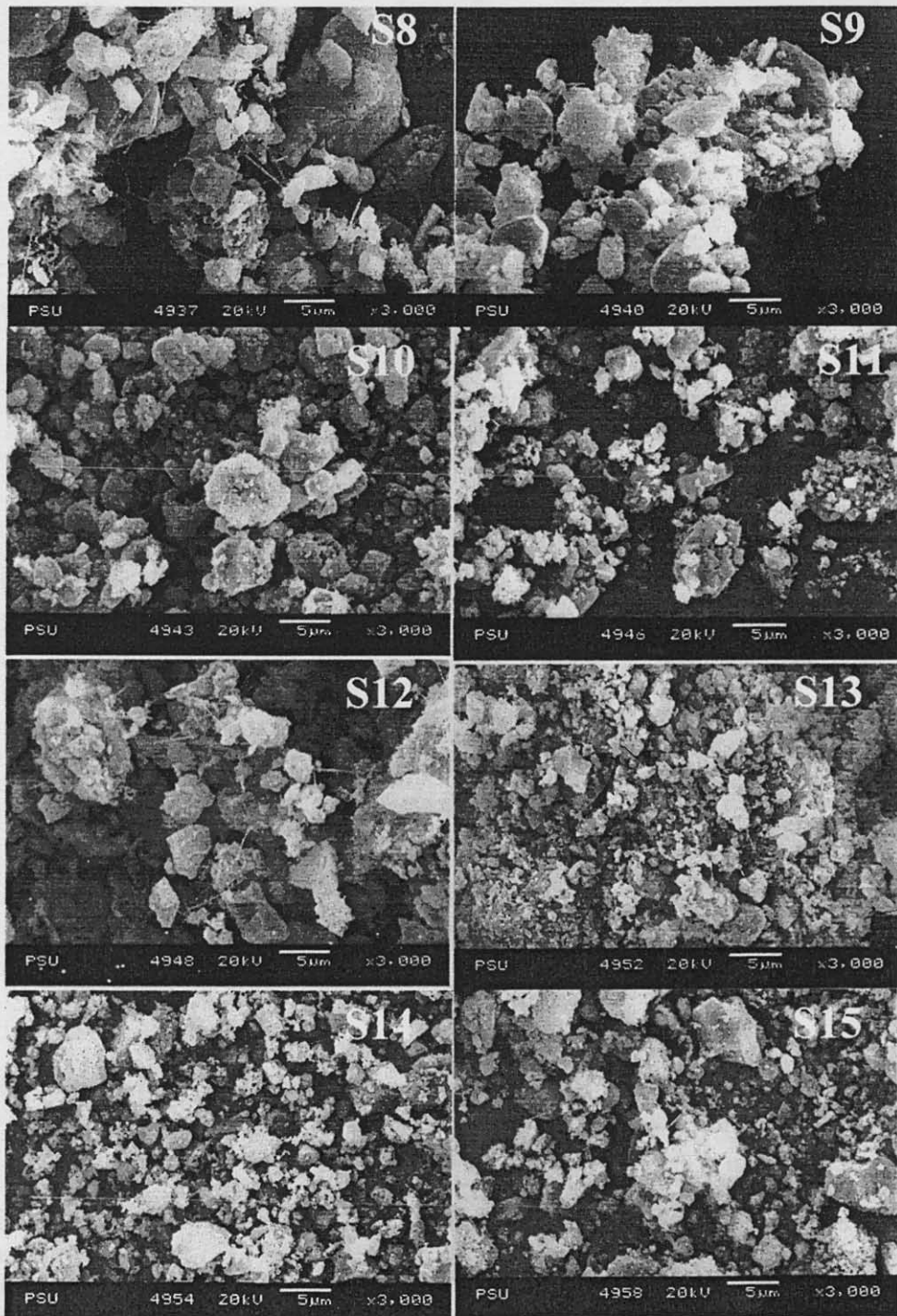


Figure 10: SEM micrographs of products from the reaction temperature of 1500°C (S8, S9, S10 and S11) and 1400°C (S12, S13, S14, and S15) under Ar gas atmosphere of the precursors at different milling time

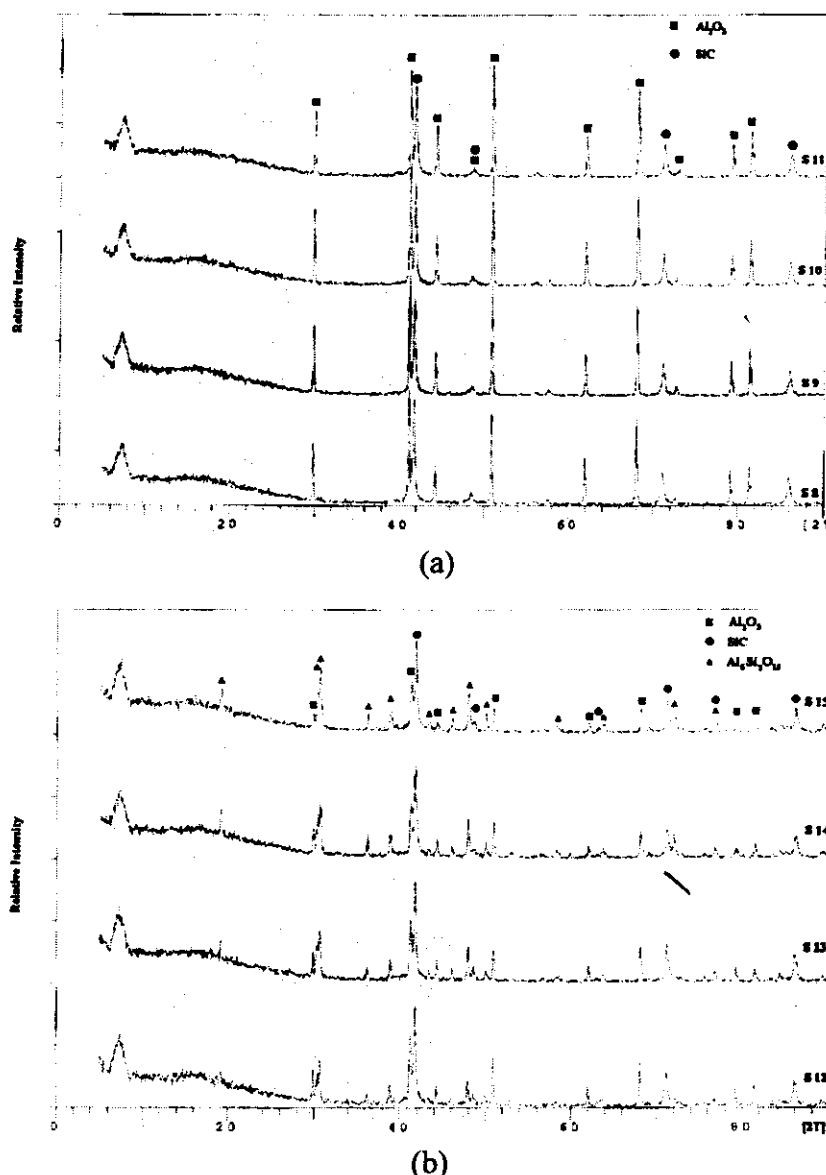
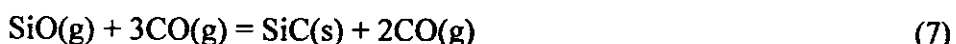


Figure 11: XRD patterns of products from the synthesis temperature of (a) 1500°C (b) 1400°C under Ar gas atmosphere of the precursors at different milling time

The product morphology obtained from SEM micrograph in Figure 9 shows 3 different forms of plate, whisker and porous particle. Since the main reaction in the carbothermal reaction is gas-solid reaction (Equation (6)), resulting in formation of SiC in porous form. The formation of SiC whisker cannot be explained by the gas-solid reaction of SiO(g) and C(s) . It is more likely that the whiskers formed via gas-gas reaction between SiO(g) and CO(g) . The reaction can proceed as follows [16]:



Porous morphology of SiC is found in all samples but the whisker morphology found higher volume in products of lower milling time precursors. The Al_2O_3 remain stable throughout the experiment temperature and has the platelet morphology in the final product.

Effect of the reaction temperature

The reaction temperature has significant effect on the formation of Al_2O_3 and SiC. At the lower

reaction temperature of 1400°C the carbothermal reduction of kaolinite and carbon produced Al_2O_3 , SiC and $\text{Al}_6\text{Si}_2\text{O}_{13}$ (mullite), as shown in Figure 11(a). But at the reaction temperature of 1500°C (Figure 11(b)) and 1600°C (Figure 8) the result products are Al_2O_3 and SiC.

Figure 10 shows SEM micrographs of product particles from reaction temperature of 1400°C and 1500°C. The morphology of products mainly are platelet particles of Al_2O_3 (all experiments) and $\text{Al}_6\text{Si}_2\text{O}_{13}$ (experiment S12 to 15) and porous particles of SiC (all experiments). The whiskers form of SiC has been found only in the experiment S8 and S12 for the synthesis of 1400°C and 1500°C. When increasing reaction temperature from 1400°C to 1600°C, the whiskers SiC increase as well. These may cause by the higher partial pressure of SiO(g) and CO(g) at higher temperature, resulting in more favorable to react as Equation (7).

Conclusions

Alumina and silicon carbide ceramic composite powders were produced *in-situ* from kaolin powder and activated carbon powder by carbothermal reaction at 1500°C to 1600°C under argon gas atmosphere. Experimental results have shown that the composite powders were consisted of platelet alumina and porous and whisker silicon carbide. At lower reaction temperature of 1400°C, mullite formed and remained as stable phase in the products.

The milling time higher than 6 hours would transformed the precursors to amorphous phase and resulting in completeness of carbothermal reaction.

Acknowledgements

The authors are pleased to acknowledge the financial support for this research by Thai Research Fund (TRF), grant No. MRG 4680024. and The Mineral Resources Development Company for kaolin powder supply.

References

1. Becher, P.F. and Wel, G.C., "Toughening Behavior in SiC-Whisker-Reinforced Alumina", Comm. Am. Cer. Soc., Vol. 67[12], 1984, pp. C267-C269
2. Birchall, J.D., Stanley, D.R., Mockford, M.J., Pigott, G.H., and Pinto, P.J., "Toxicity of Silicon Carbide Whiskers", J. Mat. Sci., Vol. 7, 1988, pp. 350-352
3. Khalafalla, S.E. and Payne, S.L., "Accelerated Oxidation Of Ferrous Materials in CO_2/CO Gas Mixture", Mat. Sci.&Eng., Vol. 9, 1972, pp. 313-321
4. Bechtold, B.C. and Cutler, I.B., "Reaction of Clay and Carbon to Form and Separate Al_2O_3 and SiC", J. Am. Ceram. Soc., Vol. 63, 1980, pp. 271-275
5. Chaklader, A.C.D., Das Gupta, S., Lin, E.C.Y., and Gutowski, B., "Al₂O₃ – SiC Composites from Aluminosilicate Precursors", J. Am. Ceram. Soc., Vol. 75, 1992, pp. 283-285
6. Dubois, J., Amroune, A., Carboneau, X., Murat, M., and Kannan, T.S., "High-Temperature Transformation in Kaolin : the Role of the Crystallinity and of the Firing Atmosphere", Appl. Clay Sci., Vol. 10, No 3, 1995, pp. 187-198
7. Dubois, J., Murat, M., Amroune, A., Carboneau, X., Gardon, R., and Kannan, T.S., "High-temperature Carboreduction of Kaolin of Different Crystallinity", Appl. Clay Sci., Vol. 13, 1998, pp. 1-12,
8. Panda, P.K., Mariappan, L., and Kannan, T.S., "The Effect of Various Reaction Parameters on Carbothermal Reduction of Kaolinite", Ceramics International, Vol.25, 1999, pp. 467-473,

9. Chen, C.Y., Lan, G.S., and Tuan, W.H., "Microstructure Evolution of Mullite During the Sintering of Kaolin Powder Compacts", Ceramics International, Vol.26, 2000, pp. 715-720.
10. Fagury-Neto, E., and Kiminami, R.H.G.A., "Al₂O₃/mullite/SiC Powders Sythesized by Microwave-assisted Carbothermal Reduction of Kaolin", Ceramics International, Vol. 27, 2001, pp. 815-819.
11. Chen, C.Y., and Tuan, W.H., "The Processing of Kaolin Powder Compact", Ceramics International, Vol. 27, 2001, pp. 795-800.
12. Mariappan, L., Kannan, T.S., and Umarji, A.M., "In Situ Synthesis of Al₂O₃-ZrO₂-SiC_w Ceramic Matrix Composites by Carbothermal Reduction of Natural Silicates", Mat. Chem & Phys., Vol. 75, 2002, pp. 284-290,
13. Lin, Y.J., and Tsang, C.P., "The Effects of Starting Precursors on the Carbothermal Synthesis of SiC Powders", Ceramics International, Vol. 29, 2003, pp. 69-75
14. Gokcen, N.A. and Reddy, R.G., Thermodynamics, Plenum Press, New York, 1996
15. Zhang, D.L., "Processing of Advanced Materials Using High-Energy Mechanical Milling". Progress in Materials Science, Vol. 49, 2004, pp. 537-560
16. Koc, R. and Cattamanchi, S.V., "Synthesis of beta Silicon Carbide Powders Using Carbon Coated Fumed Silica", Vol. 33(10), 1998, pp. 2537-2549